

Étude de nouvelles stratégies de couplage latéral dans les modèles régionaux de prévision numérique du temps

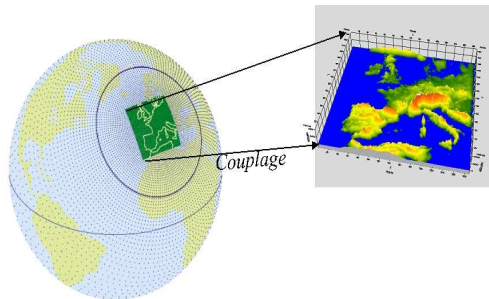
Fabrice Voitus

CNRM/GAME, Météo-France

25 *Mars* 2009

Les modèles à aire limitée : LAMs

- Zoom sur une région délimitée de l'atmosphère globale.
⇒ Production de prévisions du temps à échelles plus fines .



- Les bords latéraux des LAMs sont des limites artificielles.
⇒ ne font pas obstacle à l'écoulement.
- Résolution des équations de la météorologie dans cette région.

⇒ Résolution d'un problème aux conditions initiales et aux **conditions aux limites latérales** (LBCs) à chaque instant.

Conditions aux limites latérales bien-posées et transparentes

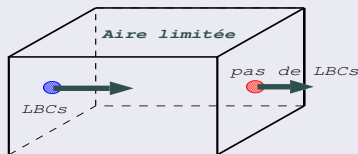
- **Sur-spécification** \Rightarrow Problème aux LBCs **mal-posée**
 \Rightarrow Développement de solutions parasites et problème d'instabilités.

Spécification bien-posée des LBCs

- Systèmes EDP hyperboliques :

Pour chaque vitesse caractéristique pointant localement vers l'intérieur du domaine limité, un champ doit être imposé à la frontière latérale.

Oliger et Sundström (1978)



Transparence des LBCs

- une onde en provenance de l'intérieur doit pouvoir quitter librement l'aire limitée, sans être réfléchiée.
- L'information issue de l'extérieur doit pouvoir être introduite dans l'aire limitée sans déformation.

Relaxation de Davies (1976)

Sur-spécification à la frontière
+
Filtrage des solutions parasites et absorption des réflexions
dans un zone tampon via un terme de rappel newtonien :

$$\frac{\partial \psi}{\partial t} = F_{\psi} - K (\psi - \psi^h),$$

- Points forts : Efficace, robuste et facile à implémenter.

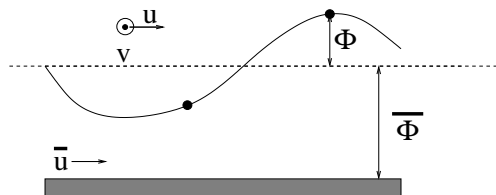
Points faibles

- 1 Sur-spécification \Rightarrow introduction d'erreurs inutiles (**mal-posée**).
- 2 Zone tampon partiellement réfléchive \Rightarrow corruption de la prévision par des ondes indésirables

Objectif poursuivi, et méthodologie

- Remplacement de la méthode de relaxation de Davies par des stratégies mieux posées mathématiquement.
- 1 Méthode des LBCs radiatives bien-posées
- 2 Zone absorbante PML (Perfectly Matched Layer)
- Étude dans un cadre simplifié via un modèle laboratoire en équations en eau peu profonde mono-dimensionnel linéaire.

Un modèle Laboratoire : Shallow-water linéaire 1D



Évolution de la perturbation de la surface d'un fluide autour d'un état de base uniforme : $\bar{u} > 0$ et $\bar{\phi} = cte.$

Les équations du mouvement sur $0 \leq x \leq L$:

$$\frac{\partial u(x, t)}{\partial t} + \bar{u} \frac{\partial u(x, t)}{\partial x} + \frac{\partial \phi(x, t)}{\partial x} - \bar{f} v(x, t) = 0,$$

$$\frac{\partial v(x, t)}{\partial t} + \bar{u} \frac{\partial v(x, t)}{\partial x} + \bar{f} u(x, t) = 0,$$

$$\frac{\partial \phi(x, t)}{\partial t} + \bar{u} \frac{\partial \phi(x, t)}{\partial x} + \bar{c}^2 \frac{\partial u(x, t)}{\partial x} = 0.$$

\bar{f} : paramètre de Coriolis.

$\bar{c} = \sqrt{\bar{\phi}}$: vitesse de phase des ondes de gravité externes pures.

Stratégie 1 : LBCs radiatives bien-posées

Principe

Remplacer les équations du mouvement à la frontière latérale du domaine par un jeu d'équations différentielles "bien-posées" dont les relations de dispersion ne sont satisfaites que par les ondes sortant du domaine.

Théorie générale de construction, Engquist et Madja (1977)

- analyse modale de l'opérateur DtN (Dirichlet-to-Neumann) dans l'espace de Laplace dans le temps et de Fourier suivant la direction tangente à la frontière :

$$\frac{\partial \hat{\Psi}}{\partial n} = \mathbf{M}_\Gamma \hat{\Psi}$$

- valeurs propres de $\mathbf{M}_\Gamma \equiv$ inverse des vitesses caractéristiques.
- $\hat{\mathbf{W}}$: vecteurs propres associés \equiv jeu d'équations pseudo-différentielles.

Stratégie 1 : LBCs radiatives bien-posées

Application au système shallow-water linéaire 1D

Transformation de Laplace :

$$\hat{\Psi}(x, s) = \int_0^{\infty} e^{-st} \Psi(x, t) dt$$

L'opérateur DtN :

$$\mathbf{M}_{\Gamma} = \frac{1}{\bar{u}(\bar{u}^2 - \bar{c}^2)} \begin{bmatrix} \bar{u}^2 & -\bar{u}\bar{c}^2 & \bar{u}\bar{c}^2 (\bar{f}/s) \\ -\bar{u} & \bar{u}^2 & -\bar{u}^2 (\bar{f}/s) \\ 0 & (\bar{u}^2 - \bar{c}^2) (\bar{f}/s) & (\bar{u}^2 - \bar{c}^2) \end{bmatrix}.$$

Ces valeurs propres :

$$\lambda_{\pm} = \frac{1}{\bar{u} \pm \bar{c}} \pm \frac{\bar{c}}{\bar{u}^2 - \bar{c}^2} \left[1 - \sqrt{1 + \frac{f^2}{s^2} \left(1 - \frac{\bar{u}^2}{\bar{c}^2} \right)} \right],$$
$$\lambda_{pv} = \frac{1}{\bar{u}}.$$

Stratégie 1 : LBCs radiatives bien-posées

Application au système shallow-water linéaire 1D

Les vecteurs propres associés :

$$\begin{aligned}\hat{W}_{\pm} &= \bar{c}\hat{u} + \bar{u}\frac{\bar{f}}{s}\hat{v} \pm \hat{\phi}\sqrt{1 + \frac{f^2}{s^2}\left(1 - \frac{\bar{u}^2}{\bar{c}^2}\right)}, \\ \hat{W}_{pv} &= \hat{v} + \frac{\bar{f}}{s}\left(\hat{u} + \frac{\bar{u}}{\bar{c}^2}\hat{\phi}\right).\end{aligned}$$

Approximation en développement en série (ex : Taylor, ou Padé) de \hat{W} , sous l'hypothèse $\bar{f}/s \ll 1 \Rightarrow$ Ex : LBCs radiatives d'ordre 1 en série de Taylor :

$$\begin{aligned}W_{\pm} &= \frac{\partial}{\partial t}(\phi \pm \bar{c}u) + f\bar{u}v, & \lambda_{\pm} &= \frac{1}{\bar{u} \pm \bar{c}} \\ W_{pv} &= \frac{\partial v}{\partial t} + f\left(u + \frac{\bar{u}}{\bar{c}^2}\phi\right), & \lambda_{pv} &= \frac{1}{\bar{u}}\end{aligned}$$

Seules les conditions radiatives dont les vitesses caractéristiques associées pointent vers l'intérieur du domaine sont imposées. Les autres sont extrapolées à partir des champs intérieurs.

Stratégie 2 : Zone absorbante PML

Principe

Modifier les équations du mouvement dans une zone tampon adjacente à la frontière latérale de sorte que toutes les ondes sortantes soient totalement absorbées aux bords.

Méthode de construction, Hu (2001)

- 1 Transformation spatio-temporelle :

$$t' \rightarrow t + \mu x,$$

- 2 Changement de variable complexe PML dans le domaine fréquentiel :

$$x \rightarrow x + \frac{i}{\omega} \int_{x_0}^x \sigma_x dx.$$

μ : paramètre stabilisateur à déterminer.

σ_x : coefficient d'absorption dans la zone PML.

Stratégie 2 : Zone absorbante PML

Application au système shallow-water linéaire 1D

Système sous forme matricielle :

$$\frac{\partial \Psi}{\partial t} + \mathbf{A} \frac{\partial \Psi}{\partial x} + \mathbf{C} \Psi = 0,$$

PML équation dans l'espace fréquentiel :

$$\begin{aligned} -\hat{i}\omega (\mathbf{I} + \mu \mathbf{A}) \hat{\Psi} + \frac{1}{1 + \hat{i} \frac{\sigma_x}{\omega}} \mathbf{A} \frac{\partial \hat{\Psi}}{\partial x} + \mathbf{C} \hat{\Psi} &= 0, \\ \Rightarrow \left(-\hat{i}\omega + \sigma_x \right) (\mathbf{I} + \mu \mathbf{A}) \hat{\Psi} + \mathbf{A} \frac{\partial \hat{\Psi}}{\partial x} + \left(1 + \hat{i} \frac{\sigma_x}{\omega} \right) \mathbf{C} \hat{\Psi} &= 0. \end{aligned}$$

En posant $\hat{\mathbf{q}} = \frac{\hat{i}}{\omega} \hat{\Psi}$, il vient :

$$-i\omega \hat{\Psi} + \mathbf{A} \frac{\partial \hat{\Psi}}{\partial x} + \mathbf{C} \hat{\Psi} + \sigma_x (\mathbf{I} + \mu \mathbf{A}) \hat{\Psi} + \sigma_x \mathbf{C} \hat{\mathbf{q}} = 0.$$

Stratégie 2 : Zone absorbante PML

Application au système shallow-water linéaire 1D

Équations dans la zone PML :

$$\begin{aligned}\frac{\Psi}{\partial t} + \mathbf{A} \frac{\partial \Psi}{\partial x} + \mathbf{C} \Psi &= -\sigma_x (\mathbf{I} + \mu \mathbf{A}) \Psi - \sigma_x \mathbf{C} \mathbf{q}, \\ \frac{\partial \mathbf{q}}{\partial t} &= \Psi.\end{aligned}$$

Stabilité des équations PML

- Ces équations sont "bien-posées" vis-à-vis du problème de Cauchy si et seulement si ,les vitesses de phase et les vitesses de groupe associées dans la direction normale, ont le même signe.

Bécache et al. (2002).

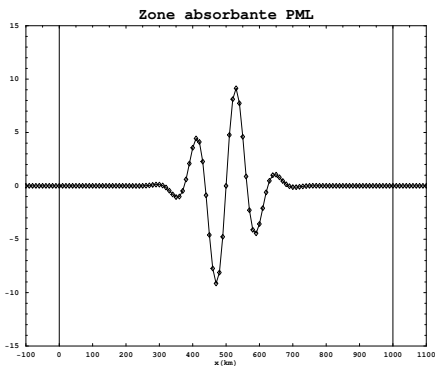
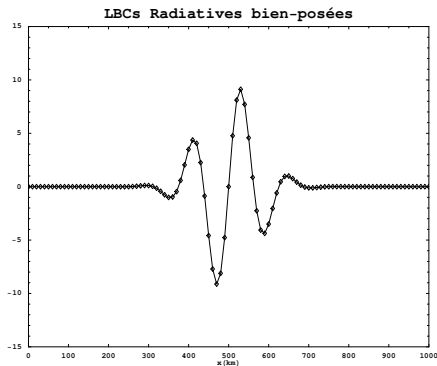
- Pour $|\bar{u}| < \bar{c}$, une condition nécessaire et suffisante est :

$$\mu = \frac{\bar{u}}{\bar{c}^2 - \bar{u}^2}$$

Test numériques

Dissipation des ondes de gravité

Discrétisation en différence finies sur un grille décalée type-C ; avance temporelle : Leap-Frog.
 $\bar{c} = 300 \text{ m s}^{-1}$, $\bar{u} = 100 \text{ m s}^{-1}$, $L = 1000 \text{ km}$, $\Delta x = 10 \text{ km}$ et $\Delta t = 10 \text{ s}$.

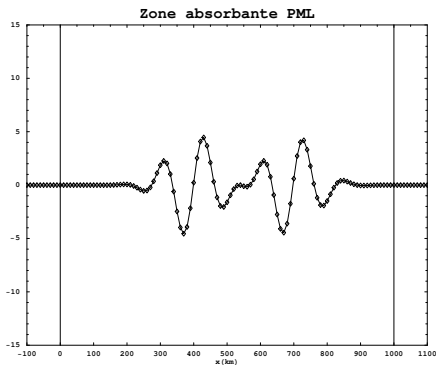
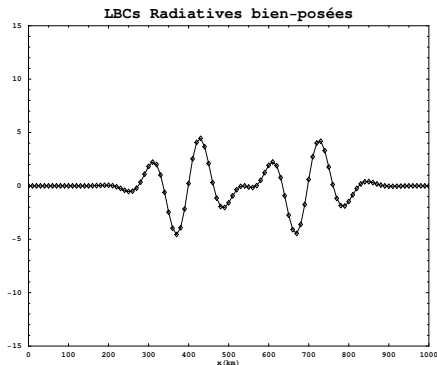


État initial : Géopotentiel $\phi(x, 0)$ Gaussienne modulée par une sinusoïde, et
 $u(x, 0) = v(x, 0) = 0$.

Test numériques

Dissipation des ondes de gravité

Discrétisation en différence finies sur une grille décalée type-C; avance temporelle : Leap-Frog.
 $\bar{c} = 300 \text{ m s}^{-1}$, $\bar{u} = 100 \text{ m s}^{-1}$, $L = 1000 \text{ km}$, $\Delta x = 10 \text{ km}$ et $\Delta t = 10 \text{ s}$.

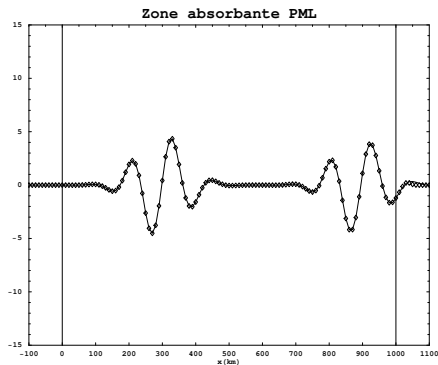
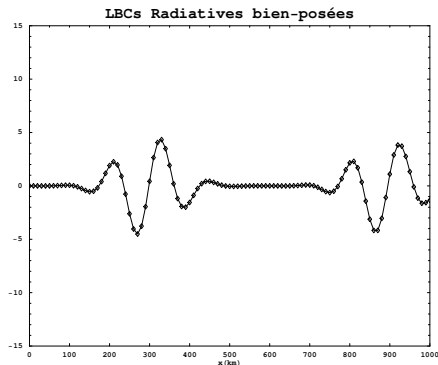


$T = 50\Delta t$, propagation de paquets d'ondes d'inertie-gravité dans la direction $+x$ à environ $\bar{u} + \bar{c} = 400 \text{ m s}^{-1}$ et dans la direction $-x$ à environ $\bar{u} - \bar{c} = -200 \text{ m s}^{-1}$.

Test numériques

Dissipation des ondes de gravité

Discrétisation en différences finies sur une grille décalée type-C ; avance temporelle : Leap-Frog.
 $\bar{c} = 300 \text{ m s}^{-1}$, $\bar{u} = 100 \text{ m s}^{-1}$, $L = 1000 \text{ km}$, $\Delta x = 10 \text{ km}$ et $\Delta t = 10 \text{ s}$.

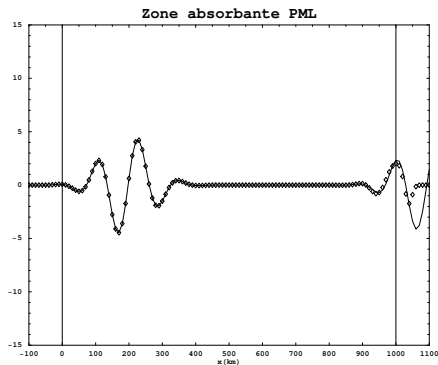
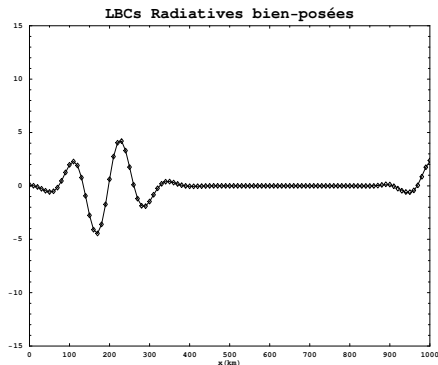


$T=100\Delta t$, propagation de paquets d'ondes d'inertie-gravité dans la direction $+x$ à environ $\bar{u} + \bar{c} = 400 \text{ m s}^{-1}$ et dans la direction $-x$ à environ $\bar{u} - \bar{c} = -200 \text{ m s}^{-1}$.

Test numériques

Dissipation des ondes de gravité

Discretisation en différences finies sur une grille décalée type-C ; avance temporelle : Leap-Frog.
 $\bar{c} = 300 \text{ m s}^{-1}$, $\bar{u} = 100 \text{ m s}^{-1}$, $L = 1000 \text{ km}$, $\Delta x = 10 \text{ km}$ et $\Delta t = 10 \text{ s}$.

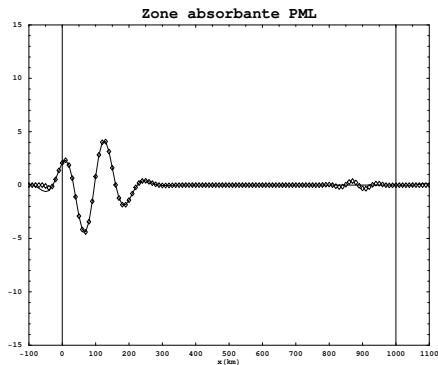
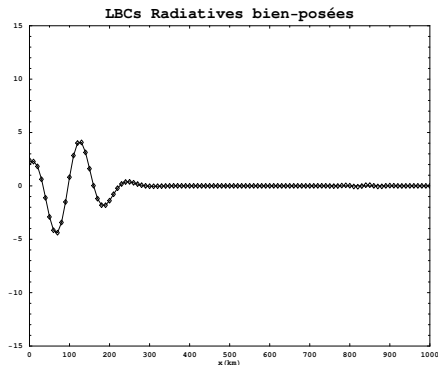


$T = 150\Delta t$, propagation de paquets d'ondes d'inertie-gravité dans la direction $+x$ à environ $\bar{u} + \bar{c} = 400 \text{ m s}^{-1}$ et dans la direction $-x$ à environ $\bar{u} - \bar{c} = -200 \text{ m s}^{-1}$.

Test numériques

Dissipation des ondes de gravité

Discrétisation en différences finies sur une grille décalée type-C ; avance temporelle : Leap-Frog.
 $\bar{c} = 300 \text{ m s}^{-1}$, $\bar{u} = 100 \text{ m s}^{-1}$, $L = 1000 \text{ km}$, $\Delta x = 10 \text{ km}$ et $\Delta t = 10 \text{ s}$.

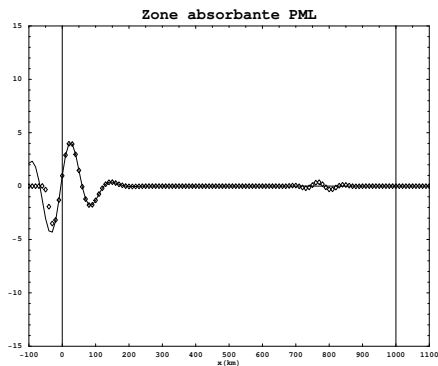
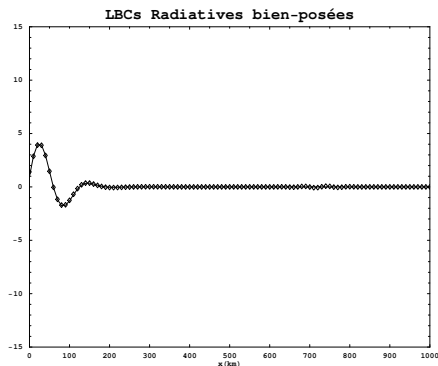


$T=200\Delta t$, propagation de paquets d'ondes d'inertie-gravité dans la direction $+x$ à environ $\bar{u} + \bar{c} = 400 \text{ m s}^{-1}$ et dans la direction $-x$ à environ $\bar{u} - \bar{c} = -200 \text{ m s}^{-1}$.

Test numériques

Dissipation des ondes de gravité

Discrétisation en différences finies sur un grille décalée type-C ; avance temporelle : Leap-Frog.
 $\bar{c} = 300 \text{ m s}^{-1}$, $\bar{u} = 100 \text{ m s}^{-1}$, $L = 1000 \text{ km}$, $\Delta x = 10 \text{ km}$ et $\Delta t = 10 \text{ s}$.

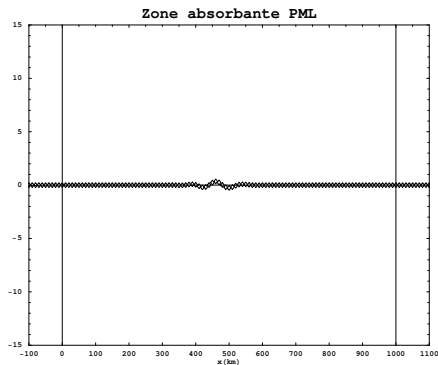
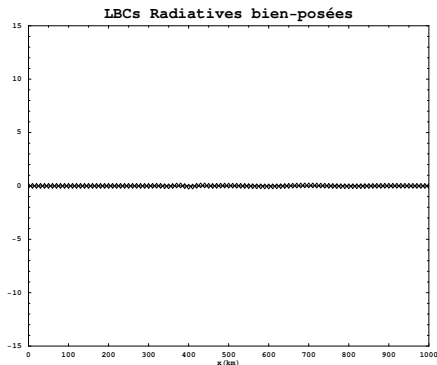


$T=250\Delta t$, processus d'ajustement géostrophique.

Test numériques

Dissipation des ondes de gravité

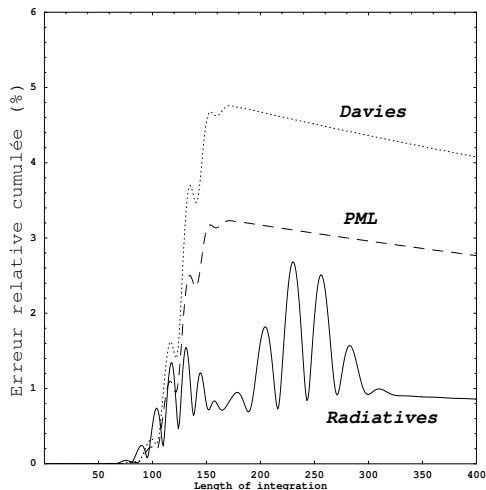
Discrétisation en différences finies sur un grille décalée type-C ; avance temporelle : Leap-Frog.
 $\bar{c} = 300 m s^{-1}$, $\bar{u} = 100 m s^{-1}$, $L = 1000 km$, $\Delta x = 10 km$ et $\Delta t = 10 s$.



$T=400\Delta t$, Établissement d'un équilibre géostrophique

Test numériques

Comparaison avec la relaxation de Davies



- Les deux nouvelles stratégies sont de performances supérieures à la relaxation de Davies.
- La stratégie des LBCs radiatives bien-posées garantie le minimum de réflexions aux bords.

LBCs radiatives bien-posées

- 1 Forte sensibilité aux conditions initiales des LBCs radiatives d'ordre supérieure à un
⇒ Nécessité d'une parfaite adéquation entre les conditions initiales et les LBCs à l'instant $t = 0$.
- 2 Stabilité des LBCs radiatives dans un schéma temporelle semi-implicite semi-Lagrangien, (ex : Théorie GKSO).
- 3 Construction des LBCs radiatives pour le système d'Euler pleinement compressible.

Zone absorbante PML

- 1 Construction stable des équations PML dans le cas $|\bar{u}| > \bar{c}$.
- 2 Faisabilité des PML dans un schéma semi-implicite semi-Lagrangien.
- 3 Stabilisation des PML dans un contexte non-linéaire.